

Osnove obradbe signala: Vremenski otvori

Tomislav Petković

Sveučilište u Zagrebu

prosinac 2021.



Očitavanje i broj uzoraka

U prošloj cjelini smo razmatrali problem jednoznačnosti kod očitavanja te smo iskazali smo **teorem očitavanja**.

Sukladno teoremu očitavanja pojasno ograničeni signal $x(t)$ maksimalne frekvencije Ω_{MAX} je jednoznačno određen svojim uzorcima $x[n] = x(nT_s)$ ako je $T_s < \pi/\Omega_{\text{MAX}}$.

No ta jednoznačnost vrijedi samo ako znamo sve uzorke, dakle ako znamo $x[n]$ za sve $n \in \mathbb{Z}$, a **to je u praksi nemoguće**.

U ovoj cjelini razmatramo što se događa kada znamo samo konačan broj uzoraka $x[n]$ nekog pojasno ograničenog signala $x(t)$.

Očitavanje u konačnom broju uzoraka

Neka je $x(t)$ polazni pojasno ograničeni signal maksimalne frekvencije Ω_{MAX} .

Signal $x(t)$ očitavamo s periodom očitavanja $T_s < \pi/\Omega_{\text{MAX}}$ u konačnom broju uzoraka N čime dobivamo vremenski diskretni signal konačnog trajanja

$$x[n] = x(nT_s), \quad n = 0, 1, \dots, N - 1. \quad (1)$$

Takvo očitavanje možemo modelirati pomoću funkcije konačnog trajanja (nosača ili potpore) $w_N[n]$ koju zovemo **vremenski otvor** (engl. *window function*) i kojom množimo $x[n]$, dakle

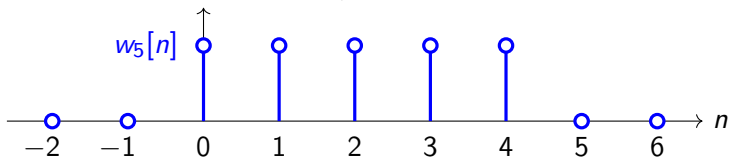
$$x_N[n] = x[n] \cdot w_N[n]. \quad (2)$$

Vremenski otvor

Vremenski otvor ili apodizacijska funkcija (engl. *window function*, *apodization function*, *tapering function*) jest funkcija koja je jednaka nuli svugdje osim unutar odabranog intervala na kojem je simetrična oko centra tog intervala.

Najjednostavniji i najprirodniji vremenski otvor jest pravokutni otvor koji je jednak jedinici unutar odabranog intervala, npr.

$$w_N[n] = \begin{cases} 1, & 0 \leq n < N, \\ 0, & \text{inače.} \end{cases} \quad (3)$$



Množenje signala s vremenskim otvorom

Uzimanje konačnog broja uzoraka dakle modeliramo množenjem vremenski diskretnog signala $x[n]$ s vremenskim otvorom $w_N[n]$ duljine N uzoraka,

$$x_N[n] = x[n] \cdot w_N[n]. \quad (4)$$

Očekujemo da sukladno *teoremu o konvoluciji* množenje signala u vremenskoj domeni odgovara konvoluciji spektara u frekvencijskoj domeni.

Prema tome zanima nas:

- ▶ Kako izgleda tipičan spektar vremenskog otvora?
- ▶ Izvod teorema o konvoluciji u spektralnoj domeni za DTFT.
- ▶ Kako otvor mijenja spektar signala $x[n]$?

Pravokutni vremenski otvor

Promatramo kauzalni pravokutni vremenski otvor $w_N[n]$ duljine N uzoraka

$$w_N[n] = \begin{cases} 1, & 0 \leq n < N, \\ 0, & \text{inače.} \end{cases} \quad (5)$$

Promatrani vremenski otvor započinje u $n = 0$, traje točno N uzoraka od $n = 0$ do $n = N - 1$, i ima centar simetrije u točki $n = (N - 1)/2$.

Napomena: Primijetite da je promatrani otvor različit od funkcije $\text{rect}_N[n]$ definirane u pregledu formula koja određuje nešto drugačiji nekauzalni pravokutni vremenski otvor trajanja $2N + 1$ uzoraka koji je simetričan oko $n = 0$.

Izračunajmo sada DTFT $[w_N[n]] = \sum_{n=-\infty}^{+\infty} w_N[n]e^{-j\omega n}$.

Spektar pravokutnog vremenskog otvora

Vrijedi:

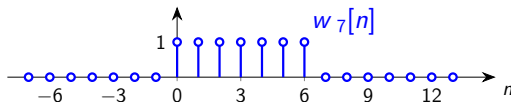
$$\begin{aligned}
 X(\omega) &= \text{DTFT}[w_N[n]] = \sum_{n=-\infty}^{+\infty} w_N[n] e^{-j\omega n} = \sum_{n=0}^{N-1} e^{-j\omega n} \\
 &= \frac{1 - e^{-j\omega N}}{1 - e^{-j\omega}} = \frac{e^{-j\frac{N}{2}\omega}}{e^{-j\frac{1}{2}\omega}} \cdot \frac{e^{j\frac{N}{2}\omega} - e^{-j\frac{N}{2}\omega}}{e^{j\frac{1}{2}\omega} - e^{-j\frac{1}{2}\omega}} \\
 &= e^{-j\frac{N-1}{2}\omega} \cdot \frac{\sin\left(\frac{N}{2}\omega\right)}{\sin\left(\frac{1}{2}\omega\right)} \quad (6)
 \end{aligned}$$

Odmah prepoznamo amplitudni i fazni dio spektra:

$$|X(\omega)| = \left| \frac{\sin\left(\frac{N}{2}\omega\right)}{\sin\left(\frac{1}{2}\omega\right)} \right| \quad ; \quad \angle X(\omega) = -\frac{N-1}{2}\omega + \angle \frac{\sin\left(\frac{N}{2}\omega\right)}{\sin\left(\frac{1}{2}\omega\right)} \quad (7)$$

Spektar pravokutnog otvora duljine $N = 7$

Odredi spektar kauzalnog pravokutnog otvora $w_7[n]$ duljine $N = 7$.

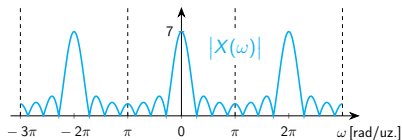


Za zadani $N = 7$ amplitudni i fazni spektar su:

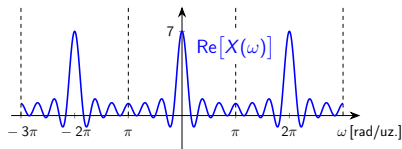
$$|X(\omega)| = \left| \frac{\sin\left(\frac{7}{2}\omega\right)}{\sin\left(\frac{1}{2}\omega\right)} \right| \quad (8)$$

$$\angle X(\omega) = -3\omega + \angle \frac{\sin\left(\frac{7}{2}\omega\right)}{\sin\left(\frac{1}{2}\omega\right)} \quad (9)$$

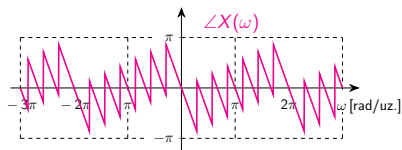
Spektar pravokutnog otvora duljine $N = 7$



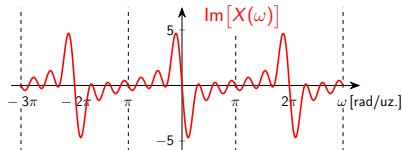
amplitudni spektar $|X(\omega)|$



realni dio spektra $\text{Re}[X(\omega)]$



fazni spektar $\angle X(\omega)$



imaginarni dio spektra $\text{Im}[X(\omega)]$

Periodizirani sinc

Dobiveni amplitudni dio spektra izgledom nalikuje na funkciju $\text{sinc}(\cdot)$ koja je periodizirana.

Stoga definiramo funkciju

$$\text{diric}_N(x) = \begin{cases} \frac{\sin(\frac{N}{2}x)}{N \sin(\frac{1}{2}x)}, & x \neq 2\pi k, \\ \pm 1, & x = 2\pi k \end{cases}, \quad (10)$$

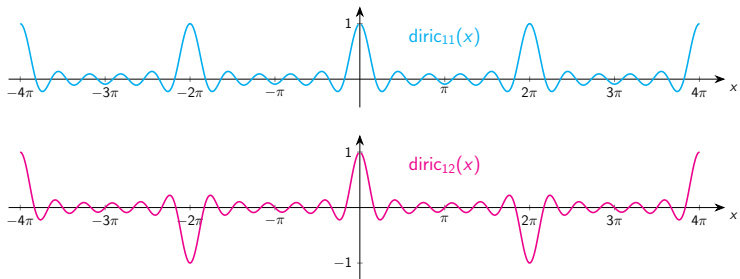
gdje je $k \in \mathbb{Z}$ i gdje predznak od ± 1 u slučaju kada je x višekratnik od 2π ovisi o parnosti N -a i o iznosu k .

Funkciju (10) nazivamo **Dirichletovom** funkcijom ili **periodiziranim sincom**.

Period funkcije $\text{diric}_N(x)$ je 4π za parni N i 2π za neparni N .

Periodizirani sinc

Primjer izgleda funkcije $\text{diric}_N(x)$ za **neparni** i **parni** N :



Kažemo da se graf funkcije $\text{diric}_N(x)$ sastoji od **latica**, najveće glavne ili centralne latice i manjih bočnih latica.

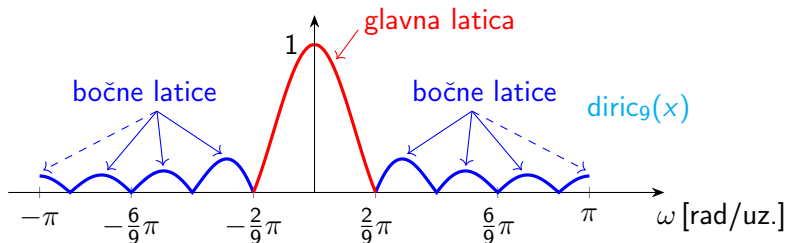
U intervalu duljine 2π funkcija $\text{diric}_N(x)$ prolazi kroz nulu točno $N - 1$ puta; ti prolasci kroz nulu razdvajaju pojedine latice.

Glavna i bočne latice

Amplitudni spektar pravokutnog otvora $w_N[n]$ duljine N je

$$A(\omega) = |\text{DTFT}[w_N[n]]| = |\text{diric}_N(\omega)|. \quad (11)$$

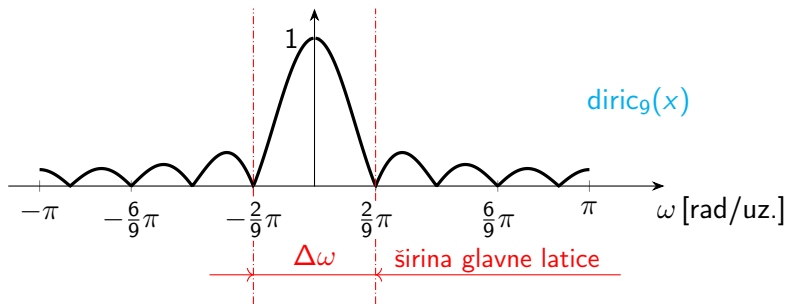
Unutar svakog perioda amplitudni spektra ima jednu **glavnu** spektralnu laticu i točno $N - 2$ **bočnih** spektralnih latica.



Širina glavne latice

Glavna latica obuhvaća frekvenciju $\omega = 0$ i omeđena je s dvije nultočke u $\omega = \pm 2\pi/N$ što znači da je njena frekvencijska širina

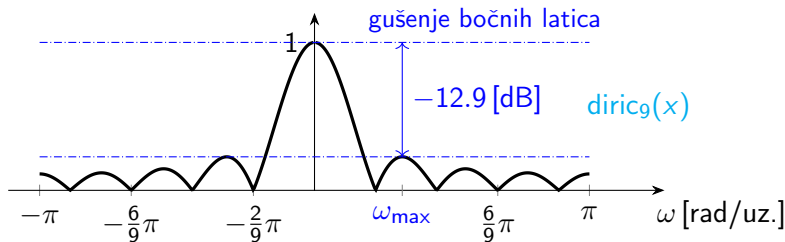
$$\Delta\omega = \left| \frac{2\pi}{N} - \left(-\frac{2\pi}{N}\right) \right| = \frac{4\pi}{N}. \quad (12)$$



Gušenje bočnih latica

Još jedno važno svojstvo vremenskog otvora jest **najlošije gušenje** (ili potiskivanje) bočnih latica.

Ono je određeno maksimumom amplitudnog spektra u području bočnih latica i gotovo uvijek ga računamo numerički.



Za pravokutni otvor kada $N \rightarrow \infty$ amplituda prve najviše bočne latica teži u 0.2172 što daje gušenje od -13.26 [dB].

Teorem o konvoluciji u spektralnoj domeni za DTFT

Neka su $x[n]$ i $y[n]$ dva vremenski diskretna signala iz ℓ^2 te neka su $X(\omega)$ i $Y(\omega)$ njihove DTFT transformacije. Onda je

$$\begin{aligned}\text{DTFT}[x[n] \cdot y[n]] &= \frac{1}{2\pi} X(\omega) \circledast Y(\omega) \\ &= \frac{1}{2\pi} \int_{-\pi}^{\pi} X(\xi) Y(\omega - \xi) d\xi\end{aligned}\tag{13}$$

U navedenom izrazu koristimo simbol \circledast za označavanje **periodične konvolucije** jer su spektri $X(\omega)$ i $Y(\omega)$ periodični. Kod periodične konvolucije integracija se provodi po jednom periodu, a rezultat je opet periodična funkcija.

Transformacija umnoška signala

Znamo da je

$$x[n] = \frac{1}{2\pi} \int_{-\pi}^{+\pi} X(\omega) e^{j\omega n} d\omega \quad \text{ i } \quad y[n] = \frac{1}{2\pi} \int_{-\pi}^{+\pi} Y(\omega) e^{j\omega n} d\omega.$$

Za produkt $x[n] \cdot y[n]$ onda vrijedi:

$$\begin{aligned} x[n] \cdot y[n] &= \frac{1}{2\pi} \int_{-\pi}^{+\pi} X(\omega_1) e^{j\omega_1 n} d\omega_1 \cdot \frac{1}{2\pi} \int_{-\pi}^{+\pi} Y(\omega_2) e^{j\omega_2 n} d\omega_2 \\ &= \frac{1}{2\pi} \int_{-\pi}^{+\pi} X(\omega_1) \left(\frac{1}{2\pi} \int_{-\pi}^{+\pi} Y(\omega_2) e^{j(\omega_1 + \omega_2)n} d\omega_2 \right) d\omega_1 \end{aligned}$$

Sada ćemo u unutrašnjem integralu zamijeniti varijable tako da umjesto ω_2 uvedemo $\omega = \omega_1 + \omega_2$.

Transformacija umnoška signala

Zamjena $\omega_2 = \omega - \omega_1$ sada daje:

$$\begin{aligned} x[n] \cdot y[n] &= \frac{1}{2\pi} \int_{-\pi}^{+\pi} X(\omega_1) \left(\frac{1}{2\pi} \int_{-\pi}^{+\pi} Y(\omega - \omega_1) e^{j\omega n} d\omega \right) d\omega_1 \\ &= \frac{1}{2\pi} \int_{-\pi}^{+\pi} \underbrace{\left(\frac{1}{2\pi} \int_{-\pi}^{+\pi} X(\omega_1) Y(\omega - \omega_1) d\omega_1 \right)}_{=X(\omega) \circledast Y(\omega)} e^{j\omega n} d\omega \end{aligned}$$

Sada unutrašnji integral prepozajemo kao periodičnu konvoluciju dva spektra $X(\omega)$ i $Y(\omega)$ skaliranu s $\frac{1}{2\pi}$, a vanjski integral prepoznavamo kao inverznu DTFT.

Time smo pokazali da se umnožak signala u vremenskoj domeni transformira u periodičnu konvoluciju spektara u frekvencijskoj domeni.

Konvolucija sa spektrom otvora

Prema teoremu o konvoluciji spektar umnoška signala $x[n]$ i vremenskog otvora $w_N[n]$ jest

$$\text{DTFT}[x[n] \cdot w_n[n]] = \frac{1}{2\pi} \int_{-\pi}^{+\pi} X(\xi) W_N(\omega - \xi) d\xi. \quad (14)$$

U idealnom slučaju želimo da spektar signala ostane neizmijenjen, dakle

$$\frac{1}{2\pi} \int_{-\pi}^{+\pi} X(\xi) W_N(\omega - \xi) d\xi = X(\omega). \quad (15)$$

Prema tome spektar idealnog vremenskog otvora bi bio

$$W_{\text{idealni}}(\omega) = 2\pi \sum_{k \in \mathbb{Z}} \delta(\omega - 2k\pi) = 2\pi \text{comb}_{2\pi}(\omega), \quad (16)$$

odnosno idealni otvor je konstanta beskonačnog trajanja:

$$w_{\text{idealni}}[n] = 1. \quad (17)$$

Utjecaj pravokutnog vremenskog otvora

Spektar idealnog otvora je niz Diracovih funkcija,

$$W_{\text{idealni}}(\omega) = 2\pi \sum_{k \in \mathbb{Z}} \delta(\omega - 2k\pi) = 2\pi \text{comb}_{2\pi}(\omega), \quad (18)$$

pa možemo reći da idealni otvor sadrži samo jednu **beskonačno usku glavnu laticu** te da su sve **bočne latice** **potpuno potisnute**.

Spektar pravokutnog otvora pak ima **glavnu laticu** konačne širine $\frac{4\pi}{N}$ i **bočne latice** nezanemarive visine sigurno lošije od -13.26 [dB].

Zbog toga kažemo da svako ograničavanje trajanja signala utječe na spektar tako da se spektar **razmazuje** (engl. *spectral leakage*).

Spektar (ko)sinusoide konačnog trajanja

Pokažimo **razmazivanje** na primjeru spektra čiste (ko)sinusoide:

$$x[n] = \cos\left(\frac{\pi}{3}n + \frac{\pi}{4}\right). \quad (19)$$

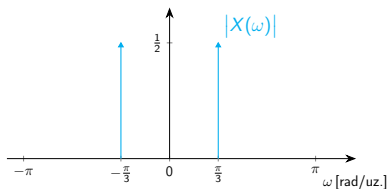
Primjenom pravokutnog vremenskog otvora ograničimo trajanje kosinusoide na $N = 32$ uzorka za $n = 0, 1, \dots, N - 1$,

$$x_N[n] = \cos\left(\frac{\pi}{3}n + \frac{\pi}{4}\right) w_N[n]. \quad (20)$$

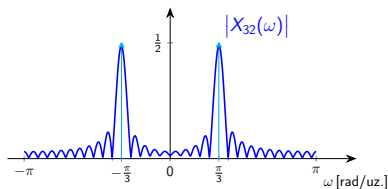
Idealni spektar $X(\omega)$ (ko)sinusoide neke frekvencije sadrži samo dvije komponente, i to na frekvencijama $\pm \frac{\pi}{3}$.

No ograničavanjem signala na $N = 32$ uzorka taj idealni spektar $X(\omega)$ se **razmazuje** sa spektrom pravokutnog vremenskog otvora $w_{32}[n]$ pa dobivamo razmazani spektar $X_{32}(\omega)$.

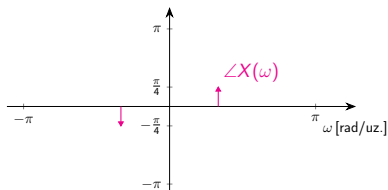
Spektar (ko)sinusoide konačnog trajanja



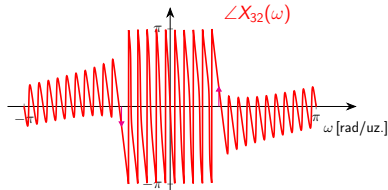
amplitudni spektar $|X(\omega)|$
idealne kosinusoide



amplitudni spektar $|X_{32}(\omega)|$
vremenski ograničene kosinusoide



fazni spektar $\angle X(\omega)$
idealne kosinusoide



fazni spektar $\angle X_{32}(\omega)$
vremenski ograničene kosinusoide

Posljedice razmazivanja spektra

U praksi ne možemo izbjeći vremensko ograničavanje signala što znači da **uvijek** dolazi do **razmazivanja spektra**.

Neki mogući neželjeni efekti razmazivanja su:

- ▶ Bočne latice otvora možemo krivo interpretirati kao nepostojeće komponente signala.
- ▶ Prevelika širina glavne latice može onemogućiti raspoznavanje bliskih (ko)sinusoida.
- ▶ Nedovoljno gušenje bočnih latica može sakriti sporedne komponente signala.

Povećavanje broja uzoraka N ublažava dio efekata, no kod pravokutnog otvora ne popravlja loše gušenje bočnih latica.

Prema tome moramo promijeniti oblik vremenskog otvora.

Kako izgleda dobar vremenski otvor?

Pravokutni otvor **oštro reže** signal na svojim granicama.

Vremenski otvori koji se koriste u praksi u pravilu ublažavaju taj prezalak tako da **lagano guše** signal od sredine otvora prema lijevoj i desnoj granici. Kažemo da apodiziramo signal.

Takvo gušenje se može izvesti na neizmjereno mnogo načina tako da postoji puno (čak i previše) raznih vremenski otvora.

Odabir konkretnog vremenskog otvora je uglavnom određen primjenom.

Glavno ograničenje koje ne ovisi o primjeni jest da ne možemo istodobno ostvariti **usku glavnu laticu** i **niske bočne latice**.

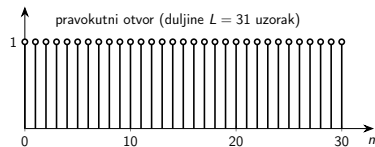
Usporedimo nekoliko vremenski otvora

Pokažimo na primjeru pet vremenski otvora što se događa kada mijenjamo način gušenja signala prema granicama otvora.

Odabrani vremenski otvori duljine $L = 31$ uzorak su:

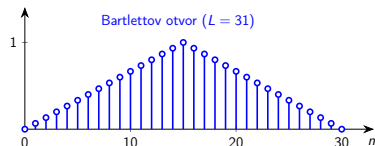
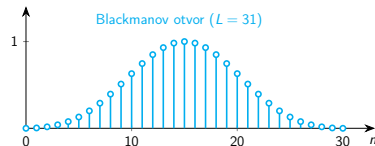
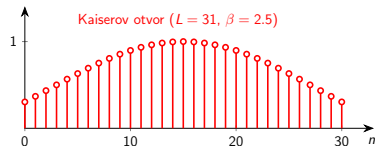
1. pravokutni vremenski otvor,
2. **Kaiserov vremenski otvor** s parametrom $\beta = 2.5$,
3. **Bartlettov vremenski otvor**,
4. **Blackmanov vremenski otvor**, i
5. **Čebišovljev vremenski otvor**.

Odabrani otvori u vremenskoj domeni



Smanjivanje oštrote/naglosti prijelaza na granicama otvora poboljšava spektralne karakteristike otvora.

Dio dobrih otvora izgleda slično u vremenskoj domeni; razlike se jasnije uočavaju u spektralnoj domeni.

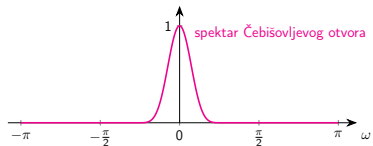
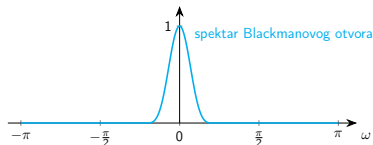
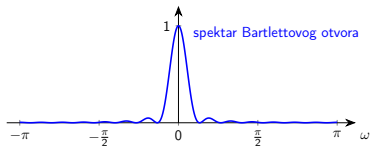
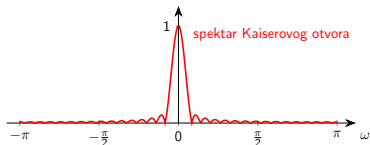
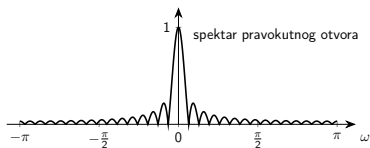


Amplitudni spektri odabranih otvora

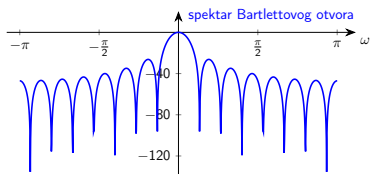
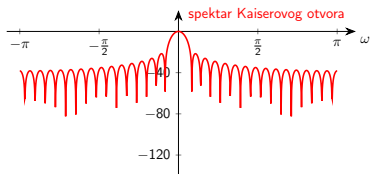
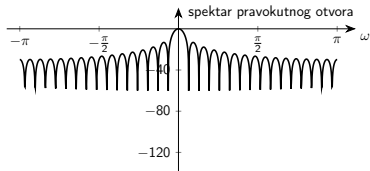
Radi lakše usporedbe svi spektri su normalizirani na $|X(0)| = 1$.

Pravokutni otvor ima najužu glavnu laticu i najviše (prve) bočne laticice.

Primijetite da gušenje bočnih latica kod ostalih otvora plaćamo širenjem glavne laticice.



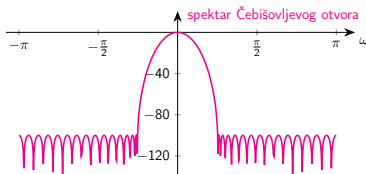
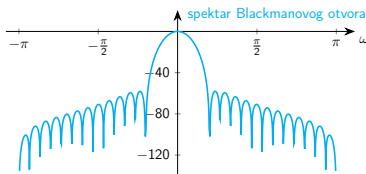
Amplitudni spektri odabranih otvora u [dB]



Bočne latice ne možemo izbjeći!

Prikaz spektra u [dB] (logaritamski)
to čini jasno uočljivim.

Čebišovljev otvor ima najužu glavnu
laticu za odabrano gušenje bočnih latica.



Analiza signala i broj uzoraka

U prošloj cjelini smo pokazali kako biramo period očitavanja T_s tako da ne dođe do preklapanja spektra.

Slično tome, potreban broj uzoraka signala N koje moramo očitati ovisi o tome koju spektralnu rezoluciju želimo postići jer:

- ▶ Ne možemo razlikovati spektralne komponente signala koje su bliže od širine glavne laticе otvora.
- ▶ Ne možemo detektirati spektralne komponente signala koje su slabije od amplituda bočnih latica otvora.

Zahtjevi na spektralnu rezoluciju zajedno uz odabir konkretnog vremenskog otvora sukladno navedenim ograničenjima definiraju minimalan broj uzoraka N koje trebamo prikupiti.

Apodizacija i Gibbsova pojava

Apodizacija ili gušenje signala prema granicama otvora se može iskoristiti za ublažavanje neželjenih nadvišenja i propada (Gibbsova pojava).

Umjesto da spektar oštro ograničimo tako da ga nakon neke frekvencije postavimo u nulu primjenjujemo spektralni otvor koji lagano guši spektar prema točki ograničenja.

Time smanjujemo iznos nadvišenja i propada u vremenskoj domeni, no takva modificirana reprezentacija signala više nije optimalna u smislu najmanjeg kvadratnog odstupanja.

Isti princip se koristi kod dizajna filtara gdje možemo apodizirati impulsni odziv kako bi popravili frekvencijsku karakteristiku filtra; to ćemo detaljnije razmatrati u drugom dijelu semestra.

Preporučeno čitanje

- ▶ S. K. Mitra, “Digital Signal Processing: A Computer Based Approach” (drugo izdanje), McGraw-Hill, 1998., dijelovi
11.2 Spectral analysis using DFT,
11.3.3 Window Selection i
7.7.4 Fixed Window Functions
- ▶ P. Prandoni, M. Vetterli, “Signal Processing for Communications” (<https://sp4comm.org/>),
dio 7.2.1.
- ▶ Wikipedia,
https://en.wikipedia.org/wiki/Window_function